

# 关于压棒在蠕变条件下之稳定问题\*

黄克智  
(清华大学)

## 提 要

在讨论压棒在蠕变条件下的稳定问题时,许多作者<sup>[1-5]</sup>均假设压棒有初曲率,故实际上所讨论的是微弯棒的纵向弯曲问题而不是直棒的稳定问题.拉波特诺夫<sup>[6]</sup>等根据蠕变强化理论(Теория упрочнения ползучести)讨论了直棒及平板的稳定问题,推出了临界时间的公式.本文根据蠕变后效理论(Теория наследственной ползучести)<sup>[7]</sup>讨论等直压棒的稳定,得到了临界时间 $t_{cr}$ 的公式.此公式证实了忻利<sup>[8]</sup>关于根据切向增量求临界状态的看法.文中证明在过了临界时间 $t_{cr}$ 以后的任一时刻 $t_0$ ,压棒均可能丧失稳定;并求出压棒外弯的形状及外弯速度[见(16)式].

假设棒的断面为工字形,且弯曲只在腹板平面内为可能.以 $F$ 表示每个翼缘的面积,两翼缘间之距离(即断面高度)为 $2h$ .设翼缘的厚度较之 $h$ 甚小,则断面可以看作是由两个相距为 $2h$ 的集中面积 $F$ 所组成(图1).讨论这种理想断面在数学计算上带来很大的简化,而所得的结果仍足以阐明现象的基本特点.

按照蠕变后效理论<sup>[7]</sup>,在单向应力状态下,变形 $\epsilon$ 与应力 $\sigma$ 之关系为:

$$\varphi(\epsilon) = \sigma(t) + \int_0^t K(t-\tau)\sigma(\tau)d\tau, \quad (1)$$

其中 $t$ 为时间, $K$ 为核函数, $\varphi(\epsilon)$ 为单向压缩(或拉伸)试验时表示应力与变形之关系的函数.函数 $K$ 与 $\varphi$ 均由试验定出,但必须注意,此处函数 $\varphi(\epsilon)$ 并不是单值的.当 $\epsilon$ 值减小时, $\varphi(\epsilon)$ 比例地减小,比例常数为杨氏弹性系数[图2(a)].

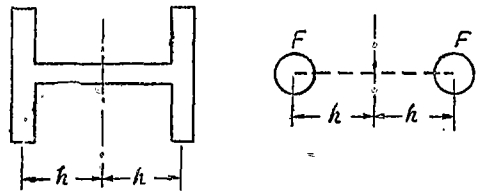


图 1

设自某一时刻( $t=0$ )开始作用于直棒之轴向压力为 $P$ ,且设其值不随时间而变化.求在此轴向压力 $P$ 作用下棒的应力和变形.如

果棒不向外弯曲,则断面上应力恒为均匀分布( $\sigma \equiv P/2F$ ),故由(1)式得:

$$\varphi(\epsilon) = \frac{P}{2F} [1 + H(t)], \quad (2)$$

其中

$$H(t) = \int_0^t K(\tau) d\tau, \quad (3)$$

\* 1958年10月25日收到.

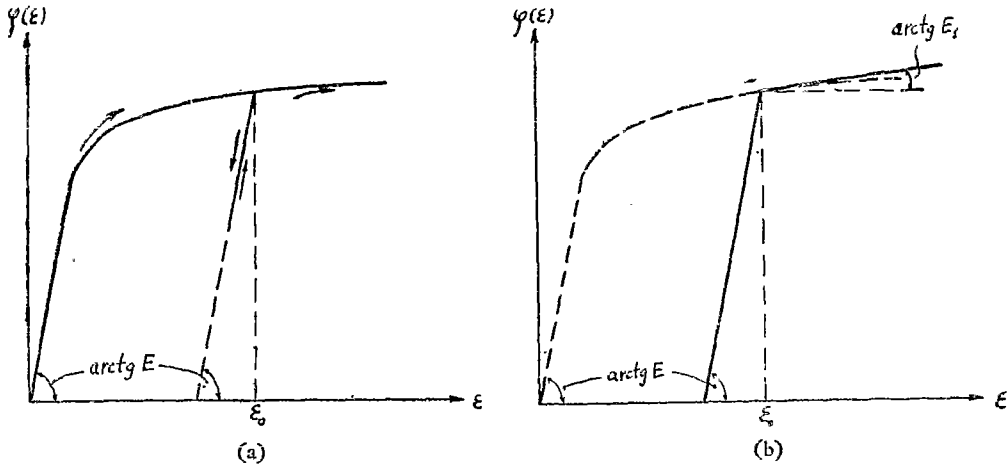


图 2

由此可求得变形  $\epsilon(t)$  ( $0 \leq t < \infty$ )。我们的目的在于研究除了上述的显然解以外是否还存在其他的解。

令  $t_0$  为压棒丧失稳定(即开始向外弯曲)的时刻。此时之变形  $\epsilon_0$  可由(2)式求得:

$$\varphi(\epsilon_0) = \frac{P}{2F} [1 + II(\epsilon_0)] \tag{4}$$

如果我们只限于研究丧失稳定以后短时间内的情况, 则  $\varphi(\epsilon)$  曲线可用两段直线来代替 [图 2(b) 中实线所示]:

$$\varphi_+(\epsilon) = \varphi(\epsilon_0) + E_1(\epsilon - \epsilon_0) \quad \text{当 } \epsilon \geq \epsilon_0, \tag{5a}$$

$$\varphi_-(\epsilon) = \varphi(\epsilon_0) + E(\epsilon - \epsilon_0) \quad \text{当 } \epsilon \leq \epsilon_0; \tag{5b}$$

其中  $E_1$  代表切向模量:

$$E_1 = \left. \frac{d\varphi}{d\epsilon} \right|_{\epsilon=\epsilon_0} = \varphi'(\epsilon_0).$$

以  $v$  表示挠度, 则在棒之弯曲状态下, 两翼缘内之应力各为

$$\sigma_L = \frac{P}{2F} (1 + w), \quad \sigma_R = \frac{P}{2F} (1 - w), \tag{6}$$

其中  $w = v/h$ , 标记 L 表示向内凹的翼缘, 标记 R 表示向外凸的翼缘(图 3)。两翼缘之变形  $\epsilon_L$  与  $\epsilon_R$  满足关系式:

$$\epsilon_L - \epsilon_R = -\frac{2h^2}{l^2} \frac{\partial^2 w}{\partial \xi^2}, \tag{7}$$

式中  $l$  为棒长,  $\xi = x/l$  为无量纲坐标。

假设棒的两端为铰支, 由于对称, 我们可以只讨论棒

的一半 ( $0 \leq \xi \leq \frac{1}{2}$ )。对于内凹翼缘, 在棒发生弯曲时变形  $\epsilon_L$  之值增加, 故  $\varphi(\epsilon)$  如 (5a) 式。由于在端截面上弯矩恒为零, 应力恒为  $P/2F$ , 故可预料, 在棒发生弯曲时, 外凸翼缘靠近棒端之某一段 ( $0 \leq \xi \leq \xi_1$ ) 变形  $\epsilon_R$  之值增加,  $\varphi(\epsilon)$  如 (5a) 式而靠近棒中央之一段

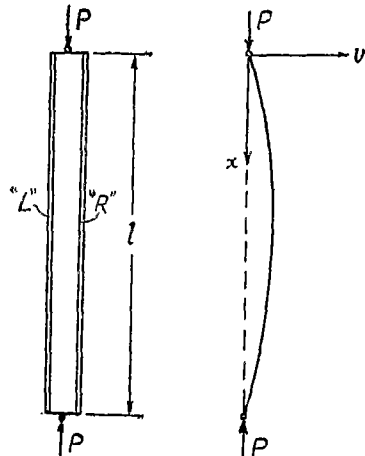


图 3

$(\xi_1 \leq \xi \leq \frac{1}{2})$  变形  $\epsilon_R$  之值减少,  $\varphi(\epsilon)$  如(5b)式.

$$\begin{aligned} \varphi(\epsilon_L) &= \varphi_+(\epsilon_L) & \text{当 } 0 \leq \xi \leq \frac{1}{2}, \\ \varphi(\epsilon_R) &= \varphi_+(\epsilon_R) & \text{当 } 0 \leq \xi \leq \xi_1, \\ &= \varphi_-(\epsilon_R) & \text{当 } \xi_1 \leq \xi \leq \frac{1}{2}. \end{aligned} \quad (8)$$

利用(1), (4)–(8)式, 可得决定挠度函数  $w(\xi, t)$  之方程如下:

$$\begin{aligned} \frac{2h^2}{l^2} E_1 \frac{\partial^2 w(\xi, t)}{\partial \xi^2} + \frac{P}{F} w(\xi, t) + \frac{P}{F} \int_0^t K(t-\tau) w(\xi, \tau) d\tau &= 0 \quad \text{当 } 0 \leq \xi \leq \xi_1, \\ \frac{2h^2}{l^2} E_1 \frac{\partial^2 w(\xi, t)}{\partial \xi^2} + \frac{P}{2F} \left(1 + \frac{E_1}{E}\right) w(\xi, t) + \frac{P}{2F} \left(1 + \frac{E_1}{E}\right) \int_0^t K(t-\tau) w(\xi, \tau) d\tau &+ \\ + \frac{P}{2F} \left(1 - \frac{E_1}{E}\right) [H(t) - H(t_0)] &= 0 \quad \text{当 } \xi_1 \leq \xi \leq \frac{1}{2}. \end{aligned} \quad (9)$$

以  $\bar{t}$  表示自丧失稳定时刻开始计算之时间, 即  $\bar{t} = t - t_0$ . 若以  $\xi, \bar{t}$  作为自变量, 由于在丧失稳定以前挠度为零 ( $w(\xi, \bar{t}) = 0$ , 当  $\bar{t} \leq 0$ ), (9)式成为

$$\begin{aligned} \frac{\partial^2 w(\xi, \bar{t})}{\partial \xi^2} + \mu \left[ w(\xi, \bar{t}) + \int_0^{\bar{t}} K(\bar{t} - \bar{\tau}) w(\xi, \bar{\tau}) d\bar{\tau} \right] &= 0 \quad \text{当 } 0 \leq \xi \leq \xi_1, \\ \frac{\partial^2 w(\xi, \bar{t})}{\partial \xi^2} + \lambda \left[ w(\xi, \bar{t}) + \int_0^{\bar{t}} K(\bar{t} - \bar{\tau}) w(\xi, \bar{\tau}) d\bar{\tau} \right] &+ \\ + C [H(\bar{t} + t_0) - H(t_0)] &= 0 \quad \text{当 } \xi_1 \leq \xi \leq \frac{1}{2}; \end{aligned} \quad (10)$$

式中

$$\mu = \frac{\pi^2 E}{E_1} \frac{P}{P_\Delta} = \frac{\pi^2 P}{p_{Cr}}, \quad \lambda = \frac{\pi^2}{2} \left(1 + \frac{E}{E_1}\right) \frac{P}{P_\Delta} = \frac{\pi^2 P}{P_{Cr}}, \quad C = \frac{\pi^2}{2} \left(\frac{E}{E_1} - 1\right) \frac{P}{P_\Delta},$$

而  $P_\Delta$  表示欧拉弹性临界载荷 (按弹性模量计算),  $p_{Cr}$  表示忻利<sup>[9,10]</sup> 临界载荷 (按切向模量计算),  $P_{Cr}$  为卡尔曼-恩格塞尔临界载荷 (按折减模量计算):

$$P_\Delta = \frac{2\pi^2 E F h^2}{l^2}, \quad p_{Cr} = \frac{2\pi^2 E_1 F h^2}{l^2}, \quad P_{Cr} = \frac{2\pi^2 F h^2}{l^2} \cdot \frac{2EE_1}{E + E_1}.$$

关于核函数  $K(\bar{t} - \bar{\tau})$ , 根据拉波特诺夫<sup>[7,11]</sup> 的建议, 假设为阿贝耳型:

$$K(\bar{t} - \bar{\tau}) = A \frac{(\bar{t} - \bar{\tau})^{-\alpha}}{\Gamma(1 - \alpha)} \quad 0 < \alpha < 1, \quad (11)$$

其中  $A$  为决定于材料性质的常数. 故由(3), 得

$$H(\bar{t}) = \int_0^{\bar{t}} K(\bar{\tau}) d\bar{\tau} = A \frac{\bar{t}^{1-\alpha}}{\Gamma(2 - \alpha)}.$$

挠度函数  $w(\xi, \bar{t})$  所必须满足的边界条件及连续条件是

$$w(\xi, \bar{t}) = 0 \quad \text{当 } \xi = 0, \quad \frac{\partial w(\xi, \bar{t})}{\partial \xi} = 0 \quad \text{当 } \xi = \frac{1}{2}, \quad w, \frac{\partial w}{\partial \xi} \text{ 为连续} \quad \text{当 } \xi = \xi_1. \quad (12)$$

求解微分积分方程(10)甚为困难. 但若我们只限于研究丧失稳定以后短时间内的情况(即在  $\bar{t} = 0$  附近的情况), 则只须借助拉普拉斯变换求  $w(\xi, \bar{t})$  在  $\bar{t} = 0$  附近的渐近公式.

以记号“\*”表示经过拉普拉斯变换以后所得的函数, 用记号“ $\bullet \rightarrow$ ”表示变换的对应关系. 由(11)式, 可得

$$K^*(s) = \frac{A}{s^{1-\alpha}} \bullet \rightarrow A \frac{\bar{t}^{-\alpha}}{\Gamma(1-\alpha)} = K(\bar{t}) \quad (0 < \alpha < 1),$$

$$H^*(s) = \frac{A}{\Gamma(2-\alpha)} \frac{e^{st_0}}{s^{2-\alpha}} Q(st_0, 2-\alpha) \bullet \rightarrow A \frac{(\bar{t} + t_0)^{1-\alpha}}{\Gamma(2-\alpha)} = H(\bar{t} + t_0),$$

其中  $Q$  为不完全  $\Gamma$  函数, 即

$$Q(x, \nu) = \int_x^\infty e^{-\eta} \eta^{\nu-1} d\eta.$$

微分积分方程(10)经过拉普拉斯变换以后成为

$$\begin{aligned} \frac{\partial^2 w^*(\xi, s)}{\partial \xi^2} + \mu \left(1 + \frac{A}{s^{1-\alpha}}\right) w^*(\xi, s) &= 0 \quad \text{当 } 0 \leq \xi \leq \xi_1, \\ \frac{\partial^2 w^*(\xi, s)}{\partial \xi^2} + \lambda \left(1 + \frac{A}{s^{1-\alpha}}\right) w^*(\xi, s) + \frac{CA}{\Gamma(2-\alpha)} \left[ \frac{e^{st_0}}{s^{2-\alpha}} Q(st_0, 2-\alpha) - \frac{t_0^{1-\alpha}}{s} \right] &= 0 \quad (13) \\ &\text{当 } \xi_1 \leq \xi \leq \frac{1}{2}. \end{aligned}$$

而边界条件及连续条件(12)则成为

$$\begin{aligned} w^*(\xi, s) &= 0 \quad \text{当 } \xi = 0, \\ \frac{\partial w^*(\xi, s)}{\partial \xi} &= 0 \quad \text{当 } \xi = \frac{1}{2}, \\ w^*, \frac{\partial w^*}{\partial \xi} &\text{为连续} \quad \text{当 } \xi = \xi_1. \end{aligned} \quad (14)$$

由(13), (14)可解出  $w^*(\xi, s)$ . 令  $s \rightarrow \infty$ , 可得  $w^*(\xi, s)$  之渐近公式:

$$w^*(\xi, s) \sim \sqrt{\frac{\lambda}{\mu}} \frac{(1-\alpha)CA}{\Gamma(2-\alpha)} \frac{\sin(\sqrt{\mu}\xi)}{\operatorname{ctg}\left(\sqrt{\lambda} \frac{1-2\xi_1}{2}\right) \cos(\sqrt{\mu}\xi_1) - \sqrt{\frac{\lambda}{\mu}} \sin(\sqrt{\mu}\xi_1)} \frac{t_0^{-\alpha}}{s^2} \quad (15)$$

当  $0 \leq \xi \leq \xi_1$ ,

$$w^*(\xi, s) \sim \frac{(1-\alpha)CA}{\Gamma(2-\alpha)} \left[ \frac{\cos\left(\sqrt{\lambda} \frac{1-2\xi}{2}\right)}{\cos\left(\sqrt{\lambda} \frac{1-2\xi_1}{2}\right) - \sqrt{\frac{\lambda}{\mu}} \operatorname{tg}(\sqrt{\mu}\xi_1) \sin\left(\sqrt{\lambda} \frac{1-2\xi_1}{2}\right)} - 1 \right] \frac{t_0^{-\alpha}}{s^2}$$

当  $\xi_1 \leq \xi \leq \frac{1}{2}$ .

由(15)可知(见[10]), 原函数(即逆变换)  $w(\xi, \bar{t})$  必存在, 且在  $\bar{t} = 0$  附近之渐近公式为

(注意  $\bar{t} = t - t_0$ )

$$w(\xi, \bar{t}) \sim \sqrt{\frac{\lambda}{\mu}} \frac{(1-\alpha)CA}{\lambda\Gamma(2-\alpha)} \frac{\sin(\sqrt{\mu}\xi)}{\operatorname{ctg}\left(\sqrt{\lambda} \frac{1-2\xi_1}{2}\right) \cos(\sqrt{\mu}\xi_1) - \sqrt{\frac{\lambda}{\mu}} \sin(\sqrt{\mu}\xi_1)} \times \\ \times t_0^{-\alpha}(t-t_0) \quad \text{当 } 0 \leq \xi \leq \xi_1, \quad (16)$$

$$w(\xi, \bar{t}) \sim \frac{(1-\alpha)CA}{\lambda\Gamma(2-\alpha)} \left[ \frac{\cos\left(\sqrt{\lambda} \frac{1-2\xi}{2}\right)}{\cos\left(\sqrt{\lambda} \frac{1-2\xi_1}{2}\right) - \sqrt{\frac{\lambda}{\mu}} \operatorname{tg}(\sqrt{\mu}\xi_1) \sin\left(\sqrt{\lambda} \frac{1-2\xi_1}{2}\right)} - 1 \right] \times \\ \times t_0^{-\alpha}(t-t_0) \quad \text{当 } \xi_1 \leq \xi \leq \frac{1}{2}.$$

至此为止,  $\xi_1$  之值尚未确定. 根据  $\xi_1$  之定义, 在开始丧失稳定时 (即  $t = t_0$  时), 外凸翼缘在  $\xi = \xi_1$  处之  $\dot{\epsilon}_R = \frac{d\epsilon_R}{dt}$  值为零. 由(1), 利用部分求积方法, 可得

$$\varphi(\epsilon) = \sigma(\epsilon) + H(\epsilon)\sigma(0) + \int_0^\epsilon H(\epsilon-\tau)\dot{\sigma}(\tau)d\tau, \\ \varphi'(\epsilon)\dot{\epsilon} = \dot{\sigma}(\epsilon) + K(\epsilon)\sigma(0) + \int_0^\epsilon K(\epsilon-\tau)\dot{\sigma}(\tau)d\tau. \quad (17)$$

由此, 利用(6)及(16), 并注意当  $t \leq t_0$  时  $w \equiv 0$ , 得决定  $\xi_1$  之条件:

$$\dot{\sigma}_R(\xi_1, t_0) + K(t_0) \frac{P}{2F} = 0, \quad (18)$$

其中

$$\dot{\sigma}_R(\xi_1, t_0) = -\frac{P}{2F} \dot{w}(\xi_1, t_0) = -\frac{P}{2F} \sqrt{\frac{\lambda}{\mu}} \frac{(1-\alpha)CA}{\lambda\Gamma(2-\alpha)} \times \\ \times \frac{\sin(\sqrt{\mu}\xi_1) t_0^{-\alpha}}{\operatorname{ctg}\left(\sqrt{\lambda} \frac{1-2\xi_1}{2}\right) \cos(\sqrt{\mu}\xi_1) - \sqrt{\frac{\lambda}{\mu}} \sin(\sqrt{\mu}\xi_1)}, \\ K(t_0) = A \frac{t_0^{-\alpha}}{\Gamma(1-\alpha)}.$$

(18)式化简后成为

$$\operatorname{tg}\left[\sqrt{\frac{1+\beta}{2}} \cdot \sqrt{\frac{P}{\beta P_\beta}} \left(\frac{1}{2} - \xi_1\right) \pi\right] = \sqrt{\frac{1+\beta}{2}} \operatorname{ctg}\left(\sqrt{\frac{P}{\beta P_\beta}} \xi_1 \pi\right), \quad (19)$$

其中

$$\beta = E_1/E.$$

(19)式给出  $P, \beta$  与  $\xi_1$  三量间之关系, 如图 4 所示. 图 4 中之阴影部分表示压棒可能丧失稳定之区域. 当载荷  $P$  值为一定时, 给定  $\beta$  值可求出相应的  $\xi_1$  值. 由此可得下述结论:

1) 若棒的材料是具有弹性后效的介质 ( $\varphi(\epsilon) = E\epsilon, \beta \equiv 1$ ), 则当  $P < P_\beta$  时, 压棒

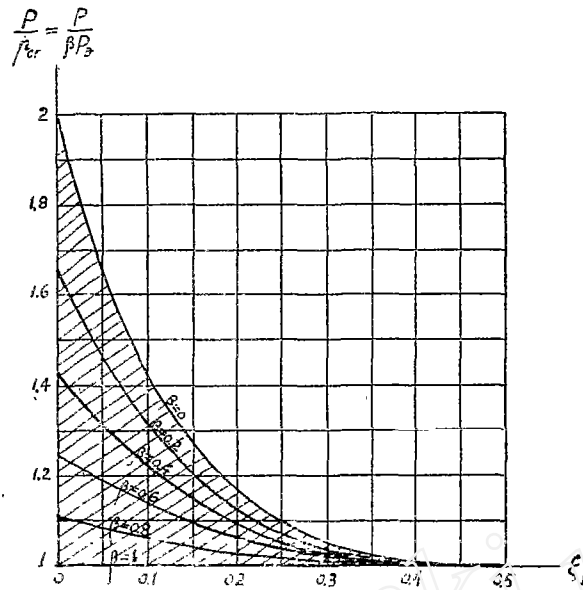


图 4

不可能丧失稳定；

2) 若桿的材料是具有后效的非弹性介质 ( $0 \leq \beta \leq 1$ ), 则当  $\beta \leq \frac{P}{P_0}$  时, 压桿可能丧失稳定。当桿受轴向压力时,  $\beta$  值随着时间而减少。由条件  $\beta = \frac{P}{P_0}$  所决定之时间  $t_{cr}$  称为临界时间。在临界时间以后 (即  $t \geq t_{cr}$ ), 桿随时可丧失稳定。丧失稳定时桿向外弯曲之速度  $\dot{w}$  由(16)式决定, 其值因丧失稳定之时刻  $t_0$  而异。

由于目前在已公开发表的文献中, 就作者所知, 还很少有在蠕变条件下稳定试验的可靠数据。所以本文的结果未能与试验结果相比较。蠕变后效理论用于构件应力与变形的计算时是一种比较好的理论; 至于它是否能用于稳定问题的计算, 则有待于试验之证实。

在本文写作过程中承拉波特诺夫院士提供宝贵意见, 謹此誌謝。

### 参 考 文 献

- [1] Hoff, N. J., Buckling and stability. *Journal of the Royal Society*, 58, No. 517, 1954.
- [2] Hoff, N. J., Creep buckling. *The Aeronautical Quarterly*, 7, Part 1, 1956, pp. 1—20.
- [3] Patel, Sharad A., Buckling of columns in the presence of creep. *The Aeronautical Quarterly*, 7, Part 2, 1956, pp. 125—134.
- [4] Розенблюм, В. М., Устойчивость сжатого стержня в состоянии ползучести. Инженерный сборник, т. 18, 1954, стр. 99—104.
- [5] Carlson, R. L., Schwabe, A. D., A method for estimating allowable load capacities of columns subjected to creep. *Proceedings of the 2nd U. S. National Congress of Applied Mechanics*, 1955, pp. 563—568.
- [6] Работнов, Ю. Н., Шестериков, С. А., Устойчивость стержней и пластинок в условиях ползучести, *ПММ*, т. 21, в. 3, 1957.

- [7] Работнов, Ю. Н., Расчет деталей машин на ползучеств. *Изв. АН Отдел. техн. наук*, № 6, 1948.
- [8] Shanley, F. R., *Weight-strength analysis of aircraft structures*, 1952.
- [9] Shanley, F. R., *Inelastic column theory. J. Aeronaut. Sci.*, 14, No. 5, 1947.
- [10] Работнов, Ю. Н., О равновесии сжатых стержней за пределом пропорциональности. Инженерный сборник, т. 11, 1952.
- [11] Работнов, Ю. Н., Равновесие упругой среды с последствием. *ПММ*, т. 12, в. 1, 1948.
- [12] Doetsch, G., *Handbuch der. Laplace-Transformation*, T. I, S. 503, 1950.

## ОБ УСТОЙЧИВОСТИ СЖАТОГО СТЕРЖНЯ ПРИ УСЛОВИИ ПОЛЗУЧЕСТИ

Хуан Кэ-чжи

(*Политехнический институт Чин-Хуа*)

В работе рассматривается устойчивость сжатого стержня на основе теории наследственной ползучести Ю. Н. Работнова. Для простоты предполагается, что поперечное сечение стержня является двуглаврым или двухточечным (Фиг. 1) и выпучивание происходит в плоскости стенки. Закон деформации имеет вид (1), где  $\varphi(\epsilon)$  — функция зависимости напряжения  $\sigma$  от деформации  $\epsilon$  при одноосном сжатии (Фиг. 2а). Если ограничимся только рассмотрением поведения стержня непосредственно после выпучивания (при  $t=t_0$ ), то можем заменить диаграмму  $\varphi(\epsilon)$  двумя ломаными линиями [ур. (5а), (5б), Фиг. 2б]. При выпучивании (когда  $t=t_0$ ) деформации  $\epsilon_L$  в вогнутой полке и  $\epsilon_R$  на концевых участках ( $0 \leq \xi \leq \xi_1$  и  $1 - \xi_1 \leq \xi \leq 1$ , где  $\xi = x/l$ , см. Фиг. 3) выпуклой полки увеличиваются, а деформация  $\epsilon_R$  на срединном участке ( $\xi_1 \leq \xi \leq 1 - \xi_1$ ) выпуклой полки уменьшается. Отсюда следуют выражения (8) для  $\varphi(\epsilon)$ . Уравнения для прогиба  $w(\xi, t)$  имеет вид (9) или (10), где  $\bar{t} = t - t_0$  — время, отсчитываемое с момента выпучивания  $t_0$ . В уравнениях (10) были введены обозначения:  $P_0$  — упругая критическая сила по Эйлеру,  $P_{cr}$  — критическая сила по Карману-Энгессеру,  $p_{cr}$  — критическая сила по Шенли. Принимая ядро  $K(t - \tau)$  типа Абеля [см. (7), (10)], путем преобразования Лапласа можем привести уравнения (10) и условия (12) для  $w(\xi, \bar{t})$ , соответственно, к (13) и (14) для функции отображения  $w^*(\xi, s)$ . на основе асимптотической формулы (15) для  $w^*(\xi, s)$  при  $s \rightarrow \infty$  можно получить асимптотическое вырождение (16) для  $w(\xi, \bar{t})$  при  $\bar{t} \rightarrow 0$ . Значение  $\xi_1$  определяется из условия:

$$\dot{\epsilon}_R = 0, \text{ при } t = t_0 \text{ и } \xi = \xi_1,$$

которое приводится к (18) или (19). Зависимость (19) нанесена в Фиг. 4, где неустойчивые состояния изображаются точками заштрихованной площади. Отсюда следуют следующие выводы:

1) Для упругой среды с последствием ( $\varphi(\varepsilon) = E\varepsilon$ ,  $\beta = E_1/E \equiv 1$ ) потеря устойчивости сжатого стержня невозможна, если  $P < P_0$ .

2) Для неупругой среды с последствием (среды наследственной ползучести  $0 \leq \beta \leq 1$ ) потеря устойчивости всегда возможна, если  $\beta \leq P/P_0$  или, все равно, если  $t \geq t_{cr}$ , где критическое время  $t_{cr}$  определяется из условия:  $\beta = P/P_0$ . Форма выпучивания  $w(\xi, t)$  и скорость выпучивания  $\dot{w}(\xi, t)$ , как видно из (16), зависят от момента времени  $t_0$ , когда выпучивание происходит.

Автор считает своим приятным долгом выразить благодарность Ю. Н. Работнову за его ценные указания в процессе выполнения данной работы.

www.cnki.net